

دراسة مميزات السعة- الفولتية (C-V) لترانزستور تأثير- المجال
معدن- أوكسيد- شبه موصل MOSFET المصنوع بطريقة الطبع الضوئي

د. عادل حبيب عمران* د. أحسان محسن عباس**
د. ياسين نجم عبيد*** د. أطياف صبحي الرواس****

* جامعة الكوفة- كلية العلوم
** وزارة العلوم والتكنولوجيا
*** الجامعة المستنصرية- كلية العلوم
**** جامعة الموصل- كلية طب الاسنان

الخلاصة:

يتضمن البحث تحضير ترانزستور تأثير المجال معدن- أوكسيد- شبه موصل MOSFET بطريقة الطبع الضوئي ودراسة مميزات السعة- الفولتية (C-V) في حالتي الانحياز الامامي والعكسى وتتأثر تغير التردد عليها ، مع حساب بعض المتغيرات الفيزيائية المهمة له . الترانزستور المصنوع باستعمال السليكون النوع الموجب (p-type Si) ذو قناء نوع n- (nMOSFET) طولها 50 μ m وعرضها 1000 μ m . أظهرت النتائج أن السعة C_G تتناقص مع زيادة فولتية البوابة V_G في حالة الانحياز العكسي عند الترددات 200KHz, 100 KHz 500KHz, 400KHz ، وأن السعة تتناقص بزيادة تردد التيار المسلط ، وأظهرت النتائج أيضاً أن السعة C_G تزداد بزيادة فولتية البوابة V_G في حالة الانحياز الامامي عند الترددات المذكورة وأن السعة تتناقص بزيادة تردد التيار المسلط ، وأن سلوك السعة- الفولتية في حالتي الانحياز الامامي والعكسى يتفق مع السلوك النظري للترانزستور.

Studying the capacitance – voltage (C-V) characteristics for the metal- oxide-semiconductor field- effect transistor MOSFET fabricated by photolithography technique

Dr.Adel H.AL-Kahyatt *
Dr.Y.N.Obaid ***

Dr. E.M.Abass **
Dr.A.S.Al-Rowass ****

* College of science AL-Kufa University

** Minstry of science and technology

*** College of science AL-Mustansiriya University

**** College of Dental medicine AL-Mousel University

Abstract:

This paper contain the fabrication of metal-oxide- semiconductor field- effect transistor MOSFET by using the lithography technique and studying of (C-V) characteristics in the reveres and forward bias and the effect of frequency variation on it, with calculate some important physical variable parameters for it.

The fabricated transistor by using p- type silicon as a substrate has n-type channel (n- MOSFET) its length and width equal to L=50 μ m ,Z = 1000 μ m . The results showed that

the capacity (C_G) was decreases with the increasing of the gate voltage V_G in the reverse bias with frequencies (100,200,400,500) KHz, and the capacity decreases with the increasing of the applied current frequency. The results also showed that the capacity C_G increases with the increasing of the gate voltage V_G in the forward bias with the same frequencies and the capacity decreases with the increasing of the applied current frequency. The behavior of capacity-voltage in the forward and reveres biases is in good agreement with the theoretical behavior of the transistor.

ولحصول على اتصال أولى جيد تم اجراء عملية الازالة الكيميائية للأوكسيد المتكون تلقائيا native oxide على سطح السليكون بوضع العينة في محلول الازالة المحتوى على الهيدروفلوريك HF والماء بنسبة (HF:H₂O) 1:10 لمدة دقيقة واحدة ، ثم تنفس وتجف لتصبح جاهزة لعملية الترسيب .

بـ- تصميم الاقنعة الضوئية :

تم تصميم ثلاث أقنية ضوئية لكل من المصدر والمصرف drain والاؤكسيد والبوابة source وكالاتي :

1- تصميم القناع الضوئي الاول للمصرف عدد 2
وال المصدر بأبعاد 1mm والمبيين في الشكل (1a)

2- تصميم المقانع الضوئي الثاني للاوكسيد بعد $250\text{ }\mu\text{m}$ والمتبين في الشكل (1b).

-3- تصميم القاتع الضوئي الثالث لـ **LIOB** كـ **laser interdigitated optical beam splitter** كل منهما ببعد $50\text{ }\mu\text{m}$ م محل الاتصال بينهما ببعد 1 mm والمتبين في الشكل (1c).

وأيضاً ينبع ذلك من التصاميم المتماثلة التي يتم رسم هذه التصاميم للاقعة أعلاه باستعمال حاسوب متطور ، ولغرض الحصول على أكثر من نبيطة في وقت واحد يصار إلى تكرار التصاميم وبنفس المواصفات بالضبط وباستعمال الحاسوب أيضاً ، حيث يتم الحصول على عدد كبير من الاقعه المتماثلة ضمن مساحة محددة ولكل قناع على حدة . بالنتيجة النهائية نستطيع الحصول على عدد من النبات بنفس المواصفات وبعملية واحدة على الشريحة السليكونية ليكون لنا الخيار بعملية الفحص في أستبعد النبات غير الصالحة للعمل .

تستعمل الأقنية الثلاثة وبصورة متعاقبة للحصول على أجزاء النبيطة بعمليات متسلسلة وبطريقة الطبع الضوئي، وللحصول على درجة تطابق عالية نعمد الى وضع علامات على أطراف الأقنية الثلاثة وبنفس الموضع باستعمال الحاسوب أيضا لنضمن تطابق موقع الأقنية الثلاثة والتي نحصل منها بالتعقب على المصدر والمصرف أو لا ثم الاوكسيد والبواة وكل جزء في موقعة بالضبط ليكون الناتج بعد عمليات الطبع الضوئي والترسيب

المقدمة - 1

يُنتمي ترانزستور تأثير المجال المعدن-أوكسيد-شبہ موصل MOSFET إلى المجموعة الرئيسية من الثنائيات التي تدعى ترانزستور تأثير المجال ذو البوابة المعزولة (IGFET) والذي يمتلك بوابة معزولة كهربائياً عن شبہ الموصل بواسطة طبقية عازلة (1,2).

ويعد الترانزistor أهم نبيطة شبه موصلة في الدوائر الالكترونية عالية الكثافة (VLSI) المستعملة في الذاكرة شبه الموصلة والمعالجات الدقيقة ويأخذ الترانزistor دوره كنبيطة مهمة في تطبيقات القدرة (1,3). وأصبحت ترانزستورات MOSFET أكثر شيوعا في الدوائر الالكترونية المتكاملة ICs التجارية بسبب بساطتها وقلة التكاليف وصغر المساحة والحجم بالإضافة إلى قلة القدرة المستهلكة (2,3).

-2- الجزء العملي

حضر الترانزستور بثلاث عمليات رئيسية وهي تهيئة السطح أو العينة بعمليات التنظيف والازالة ، وتصميم الاقعة الضوئية ، وعمليات الطبع الضوئي المتضمنة ترسيب الأجزاء المختلفة للترانزستور، وأخيراً إجراء القياسات الكهربائية لمميزات التيار- الفولتية للترانزستور المصنوع.

أ- تحضير السطح :

استعمل السيلikon من النوع القابل (p-type) ذو الاتجاه البلوري [111] وبسمك μm 5.8 كأساس للترانزستور MOSFET . أجريت عملية تنظيف العينات بوضعها في محلول تراي كلوروأثيلين (TCE) بدرجة حرارة $^{\circ}\text{C}$ 80 لمدة عشرة دقائق، ثم وضعت في مجرى ماء معالج أيونيا لمدة عشرة دقائق للتخلص من الملوثات والدهون العلاقة على سطح العينات . بعد ذلك وضعت العينات في محلول الأسيتون لمدة خمسة دقائق ثم غسلت بالماء الأيوني .

تطلی العينة نفسها (التي تم ترسيب المصدر والمصرف عليها) بمادة المقاوم الضوئي وتجف بنفس الطريقة اعلاه ثم تعرض الى الاشعة فوق البنفسجية من خلال القناع الضوئي الثاني الخاص بالاوكسيد والمثبت فوق العينة ، وتعامل بمحلول الاظهار لازالة مادة المقاوم الضوئي المتعرض للأشعة ثم تعاد عملية التسخين بنفس الطريقة اعلاه وتجرى عملية الازالة الكيمياوية بمحلول الازالة المذكور ، ثم تجرى عملية الترسيب الثانية لطبقة اوکسید السليكون العازلة SiO على سطح العينة . ثم تغمر العينة في محلول الاسيتون لمدة 24 hr لازالة المقاوم الضوئي الفائض مزيلا معه الاوكسيد فوقه تاركا الغشاء المطلوب من اوکسید السليكون على سطح العينة كما موضح في الشكل (4) .

وأخيرا عملية الطبع الضوئي الثالثة والتي تمت بنفس التقنية لتصنيع وترسيب البوابة ومحل الاتصال لها . حيث يطلی سطح العينة (التي تمت عليها عمليات الطبع الضوئي الاولى والثانية) بمادة المقاوم الضوئي بنفس الطريقة اعلاه وتجف وتعرض الى الاشعة فوق البنفسجية من خلال القناع الضوئي الثالث الخاص بالبوابة بنفس الطريقة أيضا ، وباستعمال محتوت الاظهار تعامل العينة لازالة مادة المقاوم الضوئي المتعرض للأشعة ثم تعاد عملية التسخين والتتفيف الثانية كما تم اعلاه ، ثم رسب معدن الالمنيوم النقي على سطح اوکسید السليكون لتصنيع البوابة ، بعد عملية الترسيب الاخيرة تغمر العينة في محلول الاسيتون لمدة 24 hr لازالة المقاوم الضوئي الفائض مزيلا معه معدن الالمنيوم فوقه تاركا غشاء معدن البوابة المطلوب وكما موضح في الشكل (5) .

تمت عمليات الترسيب لكل من المصرف والمصرف والاوكسيد وكذلك البوابة بـاستعمال طريقة التبخير الحراري في الفراغ Thermal evaporation in vacuum وتحت ضغط 6 torr (Blazer 510 BZ system) الشكل (6) يوضح المخطط الانسيابي لعمليات الطبع الضوئي الاساسية

د- القياسات العملية :

أجريت قياسات السعة- الفولتية بعد ربط الترانزستور بالدائرة الكهربائية الخاصة بدراسة مميزات السعة- الفولتية لترانزستور تاثير المجال معدن-اوکسید-شبہ موصل والمبنية في الشكل (7) ، حيث أنجزت قياسات الاشارة السعوية المتباوبة كدالة للفولتية المسلطة في حالة الانحياز العكسي والامامي عند الترددات 100KHz , 200KHz , 400KHz 500KHz (LRC-meter) مقاييس(15 Hz- Impedance analyzer

هو نبيطة صالحة للعمل والفحص والشكل 2 يبين شكل النبيطة النهائي وبعد عمليات التكرار لللقاءة الثلاث . بعد ذلك تنقل هذه التصاميم الى لاقعة على ورق شفاف باستعمال الراسم الليزري laser ploter ومن ثم على لوح فتوغرافي شفاف مع مراعاة شروط النظافة التامة .

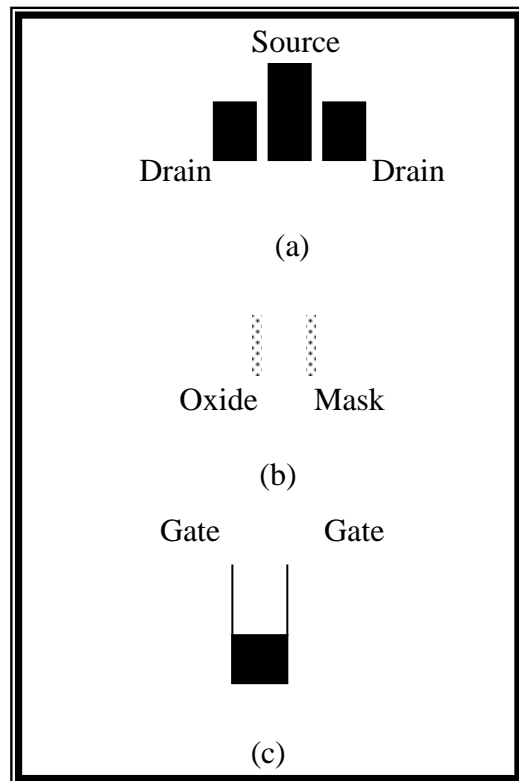
ج- عمليات الطبع الضوئي:

عملية الطبع الضوئي تستخد لتحويل صفات القناع الضوئي الى سطح شبة الموصل ، ولتصنيع ترانزستور تاثير المجال MOSFET يحتاج الى اجراء ثلاث عمليات طباعة ضوئية وهذه العمليات موضحة في الاشكال (5,4,3) والتي تدعى بتقنية الرفع lift-off technique^(1,4) التي يمكن وصفها كالتالي :

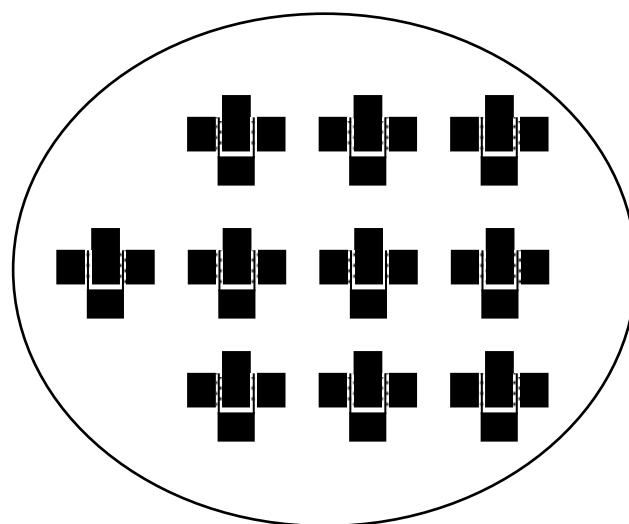
أن أجزاء الترانزستور MOSFET من المصدر والمصرف وطبقة الاوكسيد والبوابة يمكن تحديدها بـاستعمال مادة المقاوم الضوئي photorisist ، وأن تقنية الطبع الضوئي تستعمل لترك طبقة من المقاوم الضوئي على سطح شريحة السليكون قبل اجراء عمليات الترسيب ، ولهذا الغرض تستعمل مادة المقاوم الضوئي الموجب نوع Shipley AZ 1350 ، يطلی بهذه المادة سطح نظيف من السليكون بواسطة تدويرة بجهاز دوران سريع 4000 r.p.m (يمكن التحكم بسرعته) لمدة 40 sec ، ثم يتم ادخال الشريحة مباشرة في فرن منظم عند درجة حرارة 70°C ولمدة 20 min ، بعد ذلك تعرض الشريحة اشعة فوق البنفسجية ذات طول موجي بحدود 0.2- (0.4 μm) من خلال القناع الضوئي الاول الذي يثبت فوق الشريحة ويتصل محكم لمدة 15 min كما مبين في الشكل (3a) . وبـاستعمال محلول اظهار يحتوي على NaOH وماء ايوني تعامل العينة لغرض ازالة مادة المقاوم الضوئي المتعرض للأشعة كما في الشكل (3b,c) ، عندئذ تعاد عملية التسخين داخل الفرن لمدة 40 min وعند درجة حرارة 90°C . وقبل عملية ترسيب الاتصال المعدني للمصدر والمصرف أجريت عملية الازالة الكيمياوية بـاستخدام محلول الازالة المشار اليه سابقا . بعد ذلك تم ترسيب سبيكة ذهب- جرمانيوم بنسبة 88% ذهب و 12% جرمانيوم لغرض تصنيع الاتصال الاومي لكل من المصدر والمصرف على سطح شريحة السليكون ، ثم تغمر الشريحة في محلول الاسيتون لمدة 24 hr لازالة المقاوم الضوئي الفائض مزيلا معه الاتصال فرقه تاركا غشاء سبيكة الذهب- جرمانيوم على سطح السليكون^(2,4,5,6) كما مبين في الشكل (3d) .

وبنفس الطريقة تم اجراء عملية الطبع الضوئي الثانية لتصنيع وترسيب طبقة الاوكسيد العازلة ، حيث

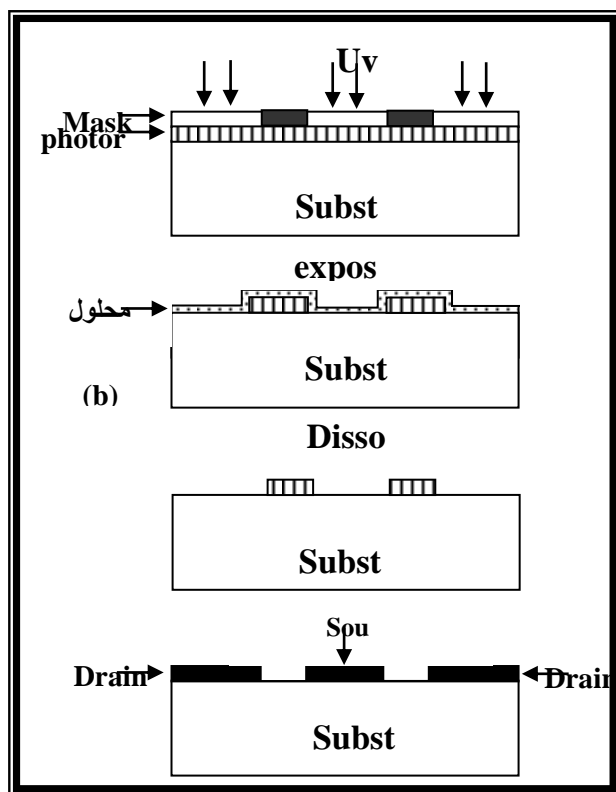
. hp-Japan (HEWLETT.PACKARD) نوع 13MHz)



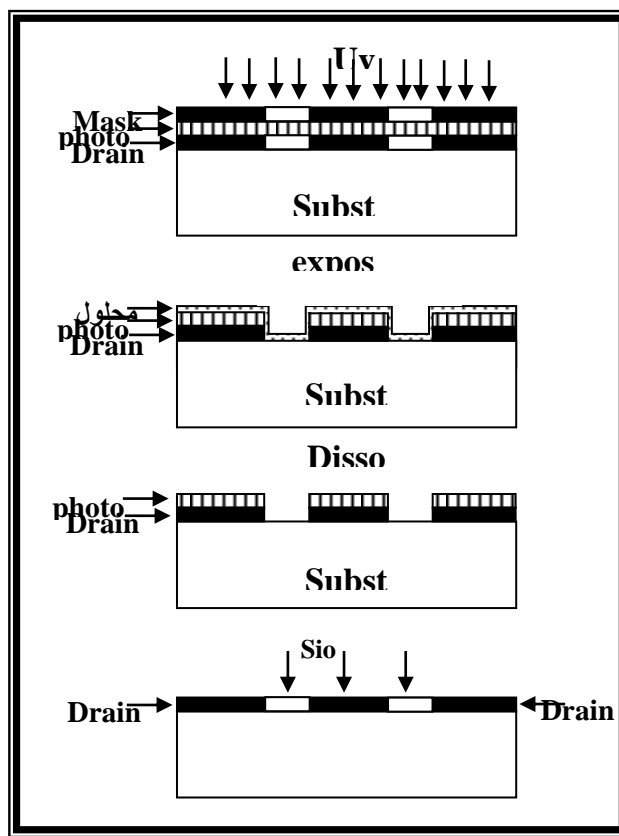
الشكل (1)
 a : القناع رقم (1) والمكون من مصرف عدد (2) و مصدر
 b : القناع رقم (2) قناع الاوكسيد.
 c : القناع رقم (3) والمكون من بوابتين ومحل الاتصال بينهما.



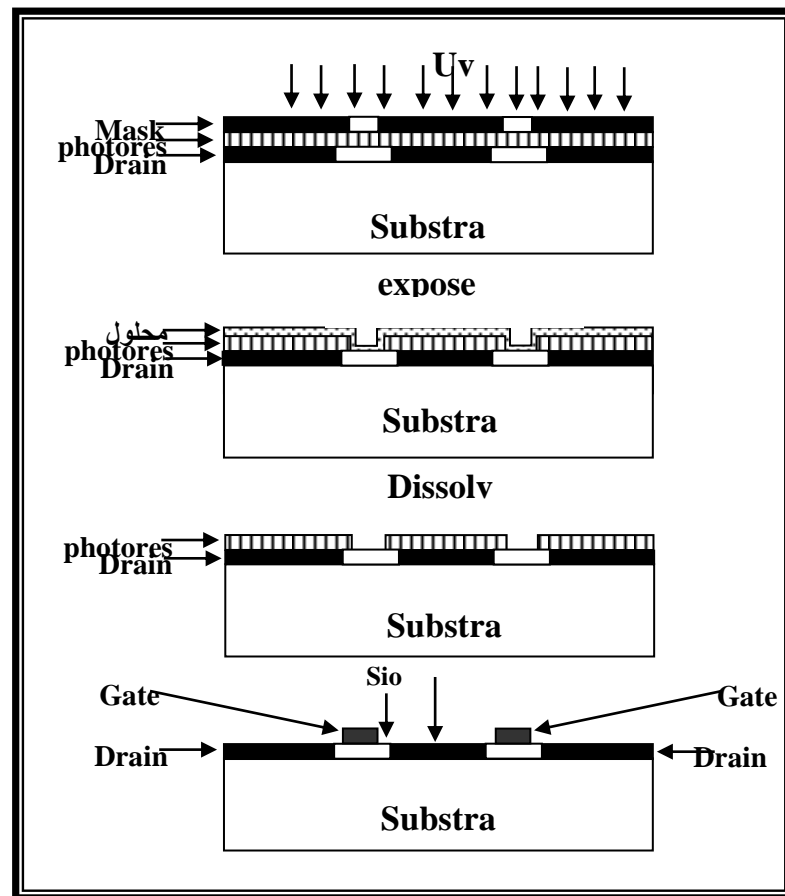
الشكل (2) يبيّن شكل النبیطه النهائی



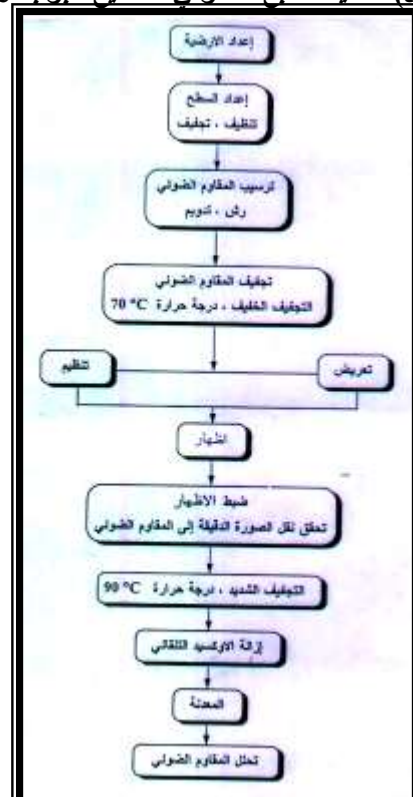
الشكل (3) عملية الطبع الضوئي لتصنيع الاتصال الاولى لكل من المصدر والمصرف.



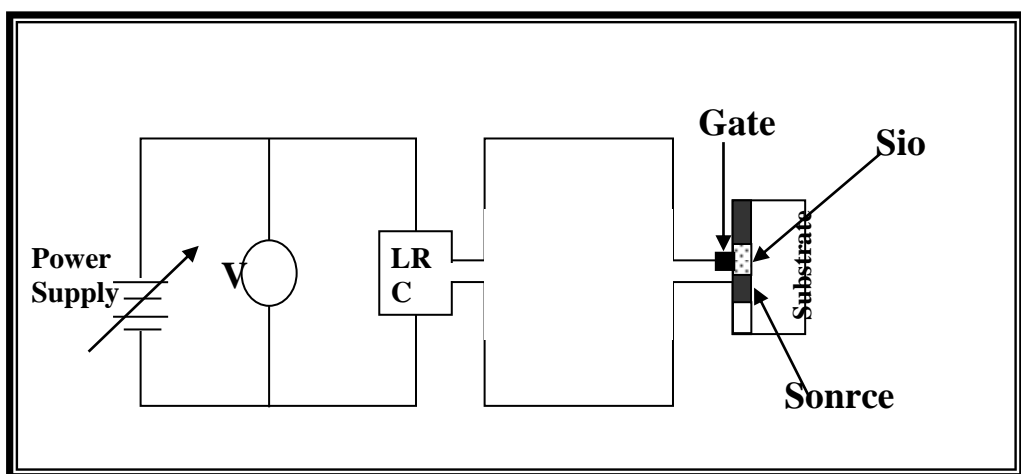
الشكل (4) عملية الطبع الضوئي لتصنيع الاوكسيد العازل . SiO



الشكل (5) عملية الطبع الضوئي لتصنيع البوابة Gate



الشكل (6) المخطط الانسيابي لعمليات الطبع الضوئي الاساسية



الشكل (7) مخطط الدائرة الكهربائية لقياسات السعة- الفولتية (C-V) .

من المعادلة اعلاه ان رسم $1/C^2$ كدالة لفولتية البوابة V_G ف يكون خطأ مستقيماً يمكن استعمال ميله

$$\text{الذي يمثل slope} = \frac{d(1/C^2)}{dV_G} \quad \text{لتتحديد تركيز الشوائب وكالآتي :}$$

$$N_d = \frac{2}{q\epsilon_s A^2} \frac{1}{slope} \quad (4-10)$$

أولاً": مميزات السعة - الفولتية في حالة الانحياز العكسي :

درست خصائص السعة - الفولتية للنبيطة المصنوعة في حالة الانحياز العكسي ولعدة ترددات . 500 KHz ، 200 KHz ، 400 KHz ويبين الشكل (8) مميزات علاقة السعة - الفولتية عند التردد 100 KHz حيث نلاحظ أن السعة تنخفض بزيادة فولتية البوابة في حالة الانحياز العكسي الذي يؤدي الى نقصان في كثافة الفجوات في سطح شبه الموصل ويكون منطقة نضوب مما يؤدي الى نقصان السعة حيث تصل الى حالة التشبع عند اقل قيمة لها عند حصول الانقلاب في سطح شبه الموصل . وان عرض منطقة النضوب الذي يزداد بزيادة الفولتية المسلطية في حالة حصول الانقلاب الشديد في سطح شبه الموصل وتبقى السعة عند قيمتها الدنيا $C_{min}^{(1,7)}$.

3-ا- النتائج والمناقشة:-

ان مدى التطعيم او تركيز الشوائب يمكن ان تحسب بدراسة العلاقة بين سعة البوابة والفولتية المسلطية حيث ان سعة البوابة يمكن ان تعطى بالعلاقة الآتية (7,8):

$$C_o = \frac{\epsilon_s \epsilon_o A}{d} \quad (4-8)$$

حيث ان ϵ_s : سماحية شبه الموصل

ϵ_0 : سماحية الفراغ

A: مساحة متسعة البوابة .

d : سمك العازل (اووكسيد)

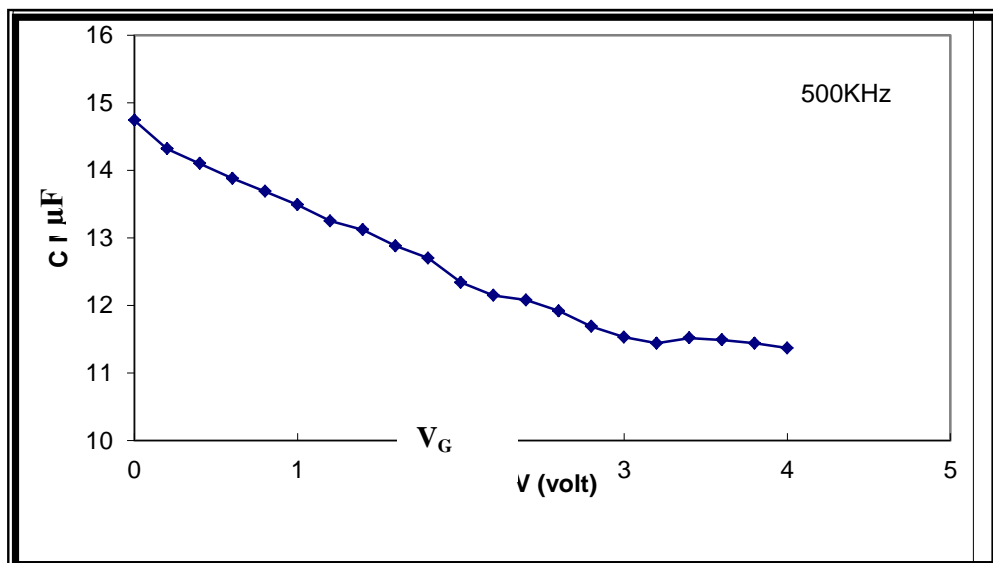
ان متعددة معدن - اووكسيد - شبه موصل اكثر تعقيداً، وذلك بسبب اعتماد الطبقة السطحية من شبه الموصل على الفولتية المسلطية . ان سعة متعددة الـ MOS في حالة الحاملات في منطقة النضوب يمكن ان تكتب بالشكل الآتى (7,9):

$$C = A \left(\frac{q\epsilon_s N_d}{2} \right)^{1/2} V_G^{-1/2}$$

او

$$\frac{1}{C^2} = \frac{2}{q\epsilon_s N_d A^2} V_G \quad (4-9)$$

حيث ان N_d هو تركيز الشوائب (مدى التطعيم) .



الشكل(8) مميزات السعة - الفولتيه (C-V) للترانزستور n-MOSFET عند التردد 100 KHz في حالة الانحياز العكسي .

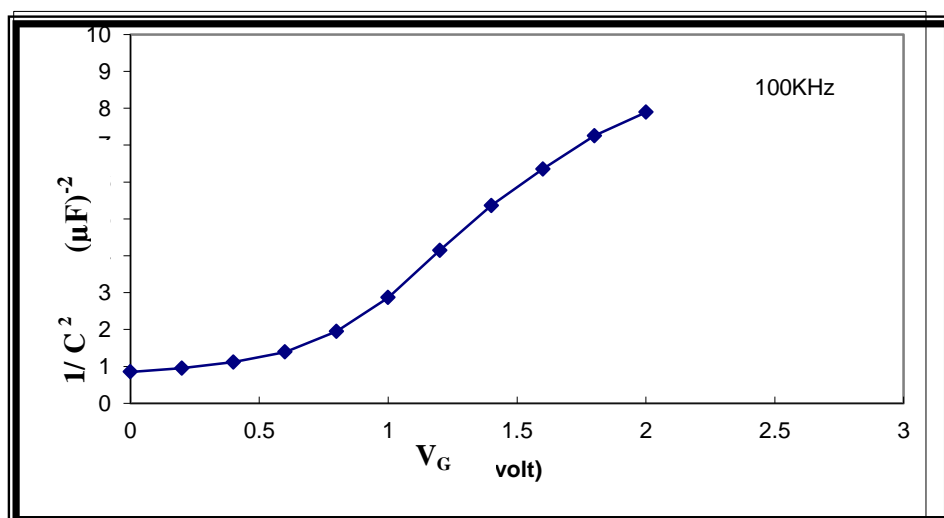
(10) حيث وجد ان تركيز الشوائب (الطبعيم) يساوي $N_d = 4.72 \times 10^{12} \text{ cm}^{-3}$.

وهذه النتيجة متتفقة مع ما حصل عليه Abbas et.al⁽⁷⁾ والباحث Das⁽¹⁰⁾ والباحث Brotherton⁽¹¹⁾.

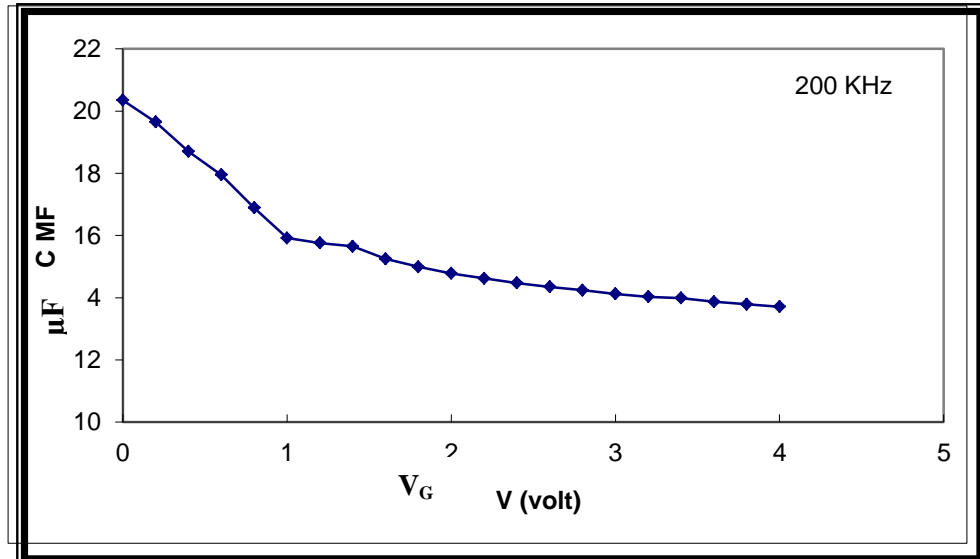
والشكل (10) يبين علاقة السعة وفولتيه البوابة للنبيطة المصنعة عند التردد (200KHz) ، حيث نلاحظ انخفاض قيمة السعة بشكل عام وانخفاضها بزيادة فولتيه الانحياز المسلطة .

ان سلوك منحني السعة - الفولتيه للنبيطة المصنعة يتحقق مع ما حصل عليه الباحثان Das⁽¹⁰⁾ والباحث Brotherton⁽¹¹⁾ .

ومن الجزء الخطى لمنحني العلاقة بين V_G و $1/C^2$ الموضحة بالشكل (9) ، نجد الميل $\frac{d}{dV_G} \left(\frac{1}{C^2} \right)$ الذي يستعمل لحساب تركيز الطبعيم بمساعدة المعادلة (4)



الشكل (9) تغير $1/C^2$ مع V_G عند التردد 100KHz في حالة الانحياز العكسي .



الشكل (10) مميزات السعة – الفولتية (C-V) للترانزستور n-MOSFET عند التردد 200kHz في حالة الانحياز العكسي .

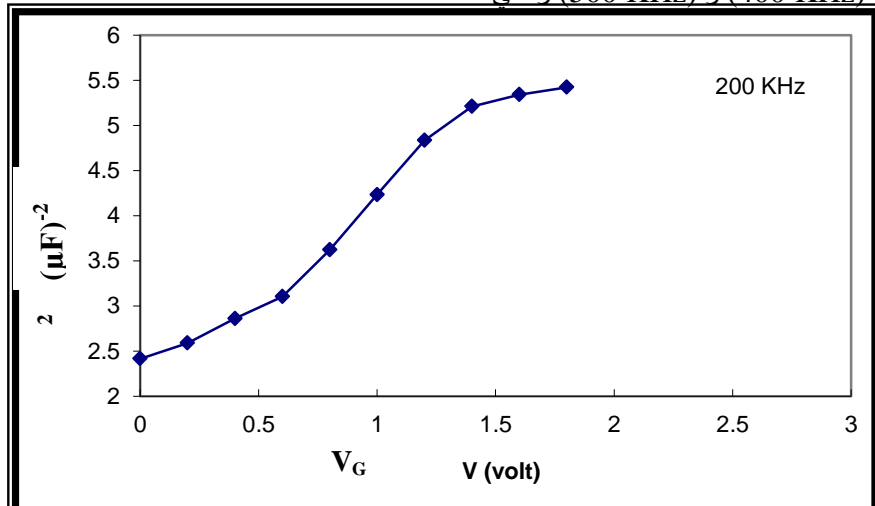
تكون مماثلة بخط مستقيم ايضاً يدل على ان التقطيع منتظمًا ومن خلال ميل الخط المستقيم يمكن حساب كثافة التقطيع بالرجوع الى المعادلة (4-10) ايضاً .

ومن خلال الاشكال (8) و(10) و(12) و(14) نلاحظ اعتماد السعة على التردد بدرجة كبيرة ، حيث تتناقص قيمة السعة بزيادة التردد و تكون قيمة السعة الاعظم عند التردد (100 KHz) و تكون قيمتها الاقل عند التردد (500 KHz) ، وذلك لاعتماد السعة في حالة الانقلاب على زمن استجابة الحاملات الاقليية ، وفي هذه المنطقة منطقه الانقلاب تكون السعة محددة في قابلية الحاملات الاقليية في مواكبة المجال الكهربائي في حالة الترددات العالية ، وان الاستجابة التردودية واطئه جداً وهي ناتجه عن عملية التولد والاتحاد الحراري للحاملات الاقليه ولها تناقص سعة عـند قيمتهـا الدـنيـا (1,9)

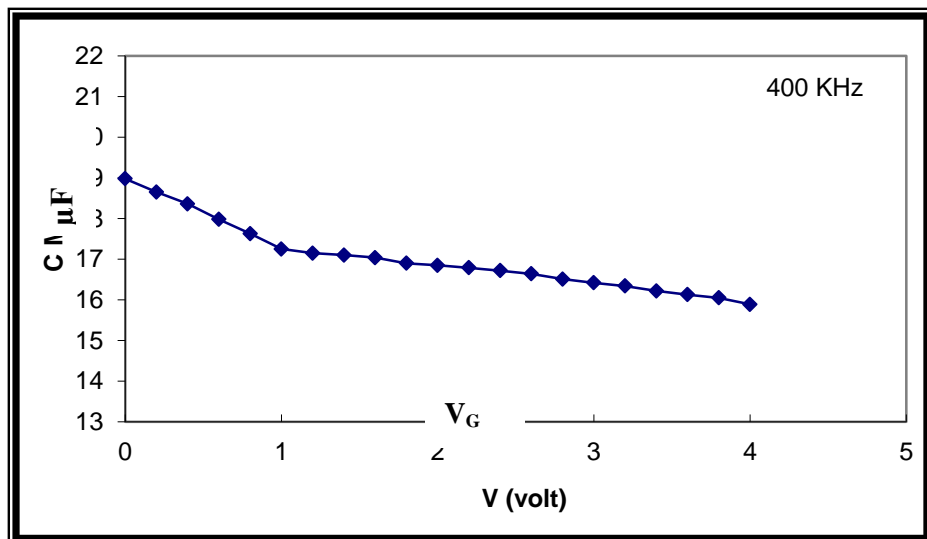
وبيين الشكل (11) علاقـة V_G / C^2 مع V_G عند التردد 200 KHz والتي تمثل بخط مستقيم الذي يدل على ان التقطيع منتظم ومن خلال ميله يمكن حساب تركيز التقطيع ايضاً .

وتبيـن الاـشكـال (12) و (14) عـلاقـة السـعـة للـترـانـسـتـور MOSFET المـصـنـعـ معـ فـولـتـيـةـ الانـحـيـازـ العـكـسـيـ المـسـلـطـةـ عـلـىـ الـبـواـبـةـ V_G عـنـدـ التـرـددـ (400 KHz) و (500 KHz) ، ويتـبيـنـ منـ خـلـالـ الاـشـكـالـ انـ قـيـمةـ السـعـةـ تـنـخـفـضـ بـزـيـادـةـ الـفـولـتـيـةـ المـسـلـطـةـ ، وـذـلـكـ لـأـنـ تـسـلـيـطـ فـولـتـيـةـ الانـحـيـازـ العـكـسـيـ تـؤـدـيـ إـلـىـ اـسـتـنـافـ السـطـحـ وـتـكـوـيـنـ مـنـطـقـةـ النـضـوبـ وـانـقـلـابـ سـطـحـ شـبـهـ الـموـصـلـ مـاـ يـؤـدـيـ إـلـىـ انـخـفـضـ سـعـةـ الـبـيـطـةـ وـوـصـولـهـاـ إـلـىـ قـيـمـهـاـ الدـنـيـاـ عـنـدـ حـصـولـ حـالـةـ الـانـقـلـابـ الشـدـيدـ لـسـطـحـ شـبـهـ الـموـصـلـ .

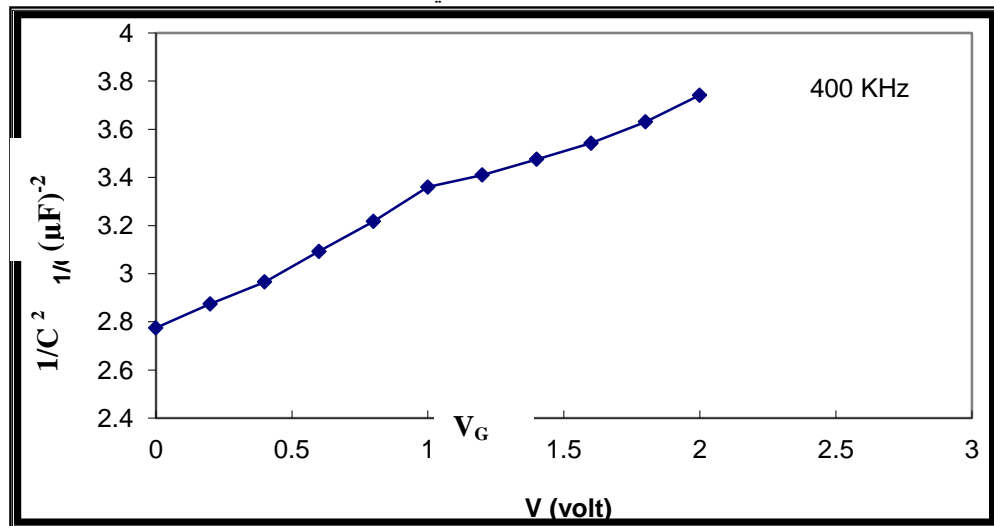
وتـبيـنـ الاـشـكـالـ (13) و (15) الـعـلاقـةـ بـيـنـ V_G و V_G / C^2 عند التردد (400 KHz) و (500 KHz) والتي



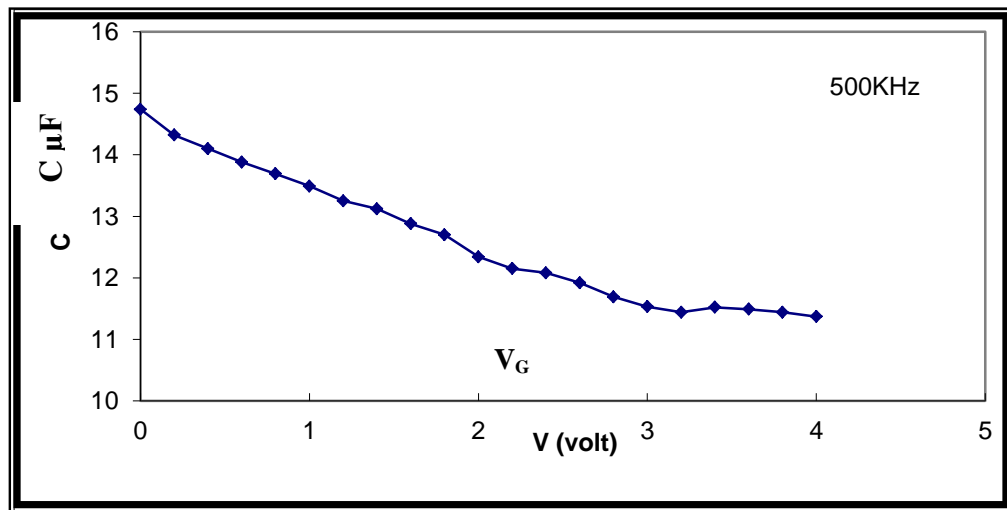
الشكل (11) تغير $1/C^2$ مع V_G عند التردد 200kHz في حالة الانحياز العكسي.



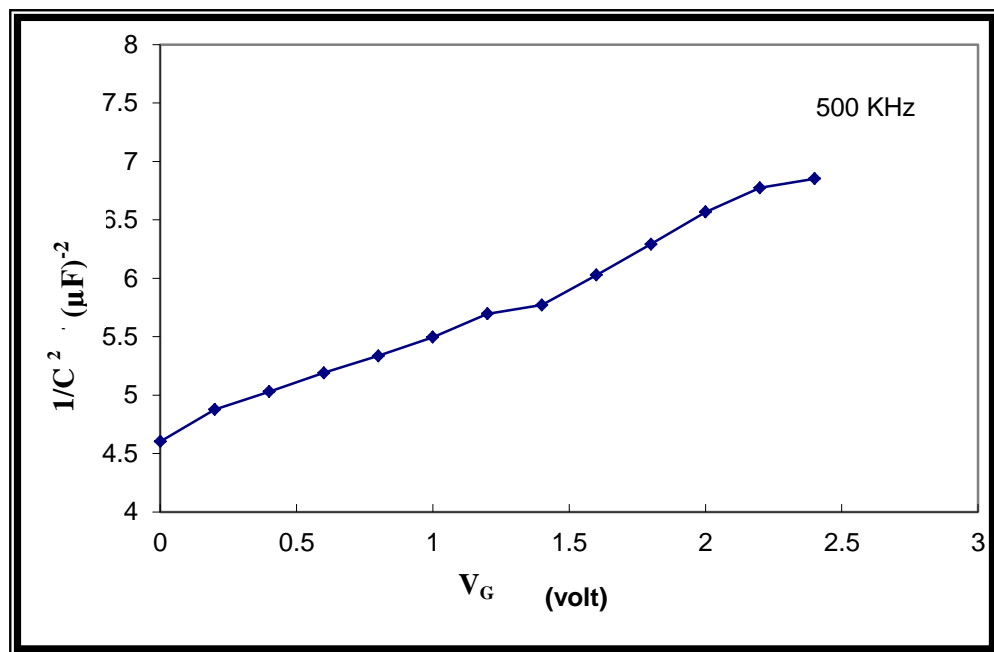
الشكل (12) مميزات السعه - الفولتية (C-V) للترانزستور n-MOSFET عند التردد 400KHz في حالة الانحياز العكسي.



الشكل (13) تغير $1/C^2$ مع V_G عند التردد 400KHz في حالة الانحياز العكسي .



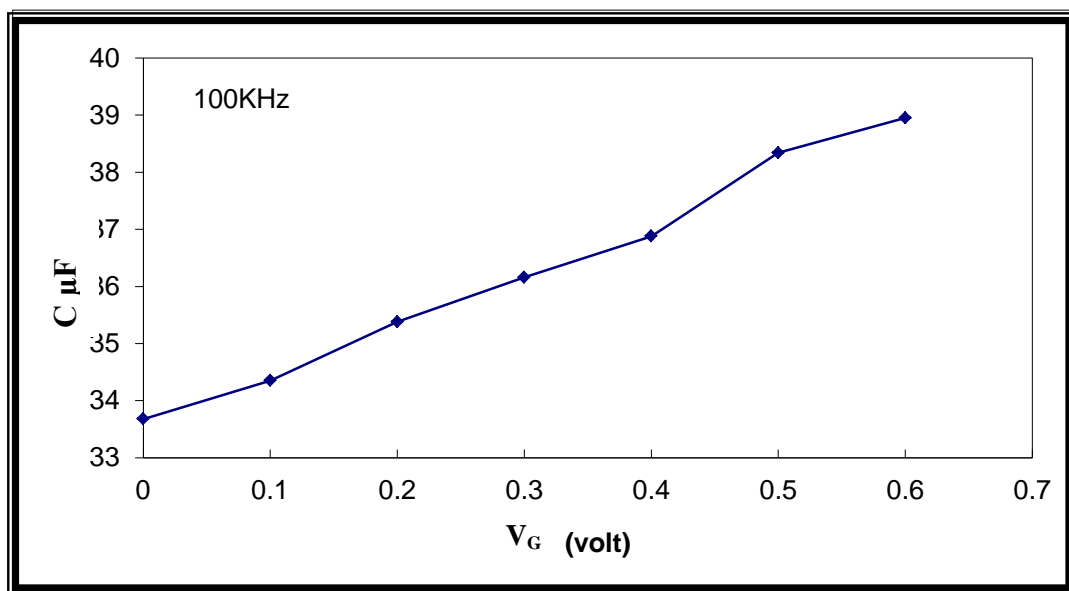
الشكل (14) مميزات السعه - الفولتية (C-V) للترانزستور n-MOSFET عند التردد 500KHz في حالة الانحياز العكسي.



الشكل (15) تغير $1/C^2$ مع V_G عند التردد 500KHz في حالة الانحياز العكسي .

ثانياً: مميزات السعة – الفولتية في حالة الانحياز الامامي:

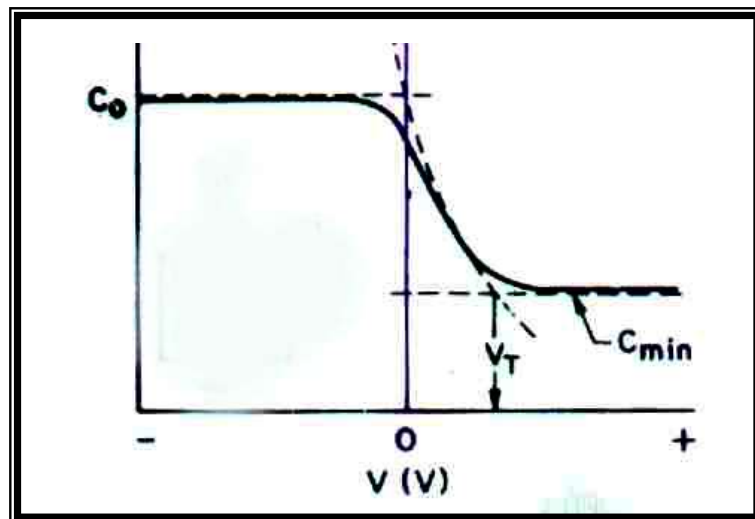
يوضح الشكل (16) مميزات السعة – الفولتية حالة الانحياز الامامي للنبيطة المصنعة عند التردد 100 KHz ، ونلاحظ من خلال الشكل أن السعة الامامية للنبيطة تزداد بانتظام مع زيادة فولتية الانحياز المسلط. حيث بتسلیط انحیاز امامی تتجمع الفجوات عند سطح شبه الموصل وتزداد كثافتها بصورة أكبر من كثافتها في متن شبه الموصل وذلك بزيادة فولتية الانحياز الامامي ، وتكون السعة الكلية مقاربة لسعة الاوكسید $\epsilon_{ox/d}$.



الشكل (16) مميزات السعة – الفولتية (C-V) للترانزستور n-MOSFET في حالة الانحياز الامامي.

يبين منحني السعة - الفولتية لتركيب MOS عند الانحياز الامامي والعكسي .

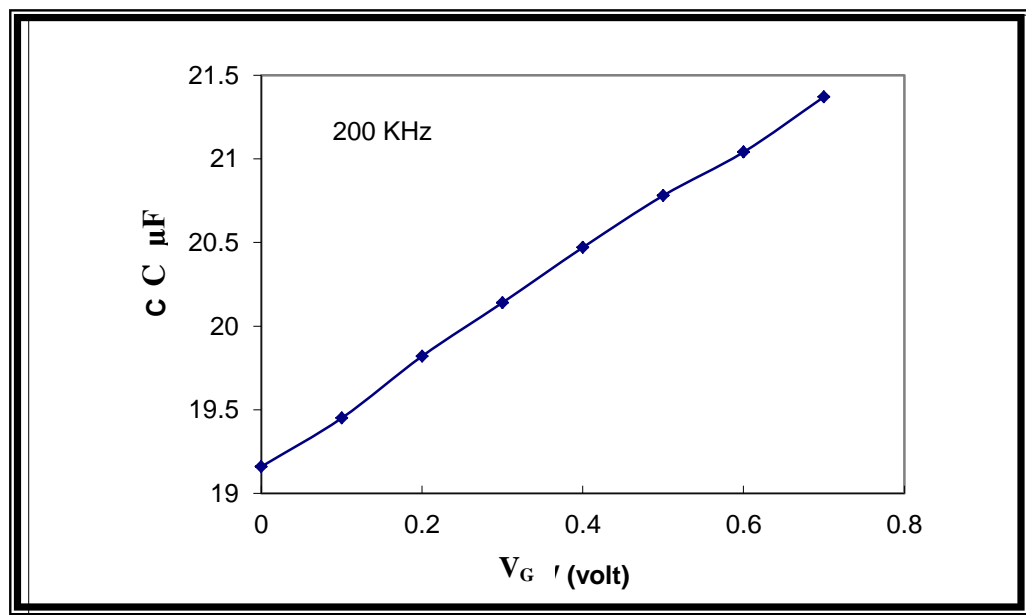
ان طبيعة مميزات السعة - الفولتية للانحياز الامامي للترانزستور MOSFET مشابهة لطبيعة مميزات السعة - الفولتية لتركيب MOS ^(1,12) . والشكل(17)



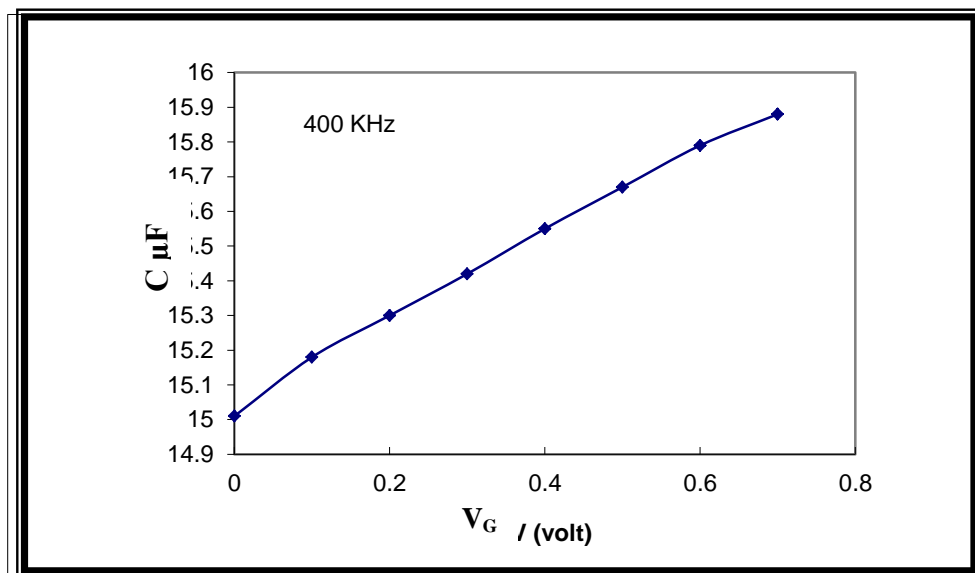
الشكل (17) منحني السعة - الفولتية لتركيب MOS ⁽⁸⁾

ونلاحظ من خلال الأشكال أن سلوك السعة فيها مشابه لما هو عند التردد (100 KHz) ، ونلاحظ أيضاً أن قيمة السعة عند زيادة التردد تنخفض كما هو الحال في حالة الانحياز العكسي ويعود السبب في ذلك لاعتماد السعة على زمن استجابة الحاملات في سطح شبه الموصل وقابليتها في مواكبة التغير في المجال الكهربائي عند الترددات العالية.

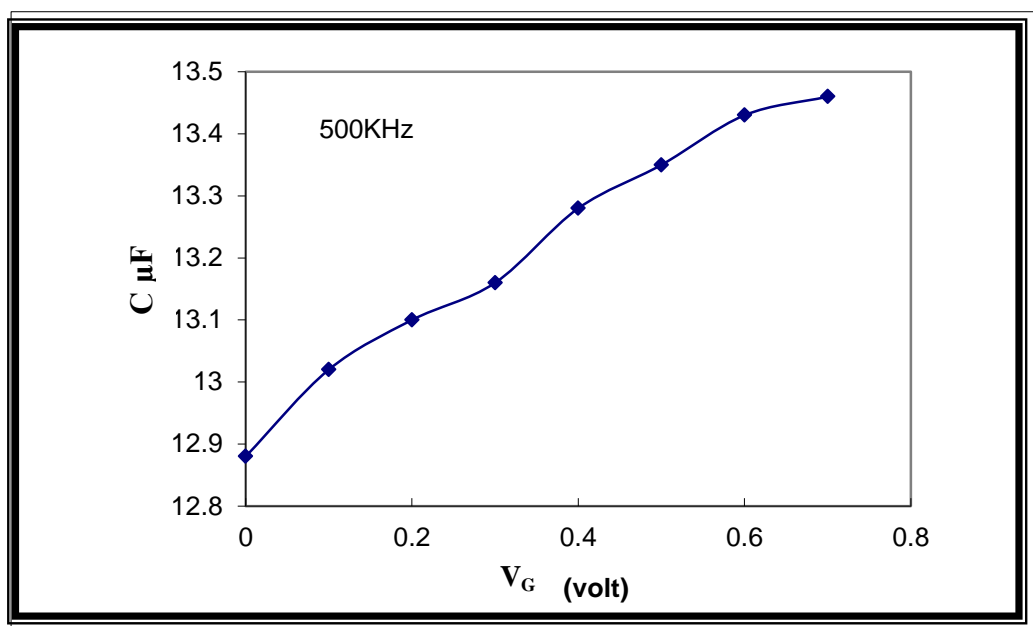
والأشكال (18) ، (19) ، (20) تبين مميزات السعة - الفولتية للنبيطة المصنعة في حالة الانحياز الامامي عند الترددات (200 KHz) ، (400 KHz) ، (500 KHz) .



الشكل (18) مميزات السعة - الفولتية (C-V) للترانزستور n-MOSFET عند التردد 200KHz في حالة الانحياز الامامي.



الشكل (19) مميزات السعة - الفولتية (C-V) للترانزستور n-MOSFET عند التردد 400KHz في حالة الانحياز الامامي.



الشكل(20) مميزات السعه - الفولتية للترانزستور n-MOSFET عند التردد 500KHz في حالة الانحياز الامامي.

النتيجة أن السعة تنخفض بزيادة تردد التيار المسلط في المدى من 100KHz الى 500KHz .

4 - الاستنتاجات

أ- أظهرت نتائج مميزات السعة - الفولتية (C-V) في حالة الانحياز العكسي أن سعة النبطة المصونة تتحفظ بزيادة فولتية البوابة V_G ، وتصل الى حالة التشبع عند أقل قيمة لها C_{min} ، كما أظهرت هذه

JOURNAL OF KUFA – PHYSICS Vol.1 No.1
A Special Issue for the 2nd Conference of Pure & Applied Sciences (11-12) March 2009

6- E.C.Doglas," Advanced process technology for VLSI circuits ", Solid State Technol. , Vol.2, No.5 , 1981 , pp. 65-73 .

7- E.M.Abbas, M.A.Mohammad, N.M.Abbas, "Improved characteristics of annealed amorphous $Si_{0.1} Ge_{0.9}$ insulated gate thin film transistor (IGFET)", 2000, un published.

8- A.Levinson, J.Shepherd, F.R.Scanton, P.J.Westwood, J.Appl.Phys. , Vol.8, 1982, pp.1193-1198.

9- قحطان نوفان عبد الله ، "تصنيع ودراسة الخواص الكهربائية لنباط معدن - أوكسيد - شبة موصل MOS" ، رسالة ماجستير ، الجامعة المستنصرية ، 2001 .

10- M.B.Das , " Dependence of the characteristics of MOS- transistor on the substrate resistivity " , Solid state electronics , Pergamon press , Vol.11 , 1968 , pp.305-322 .

11- S.D. Brotherton , " Dependence of MOS transistor threshold voltage on substrate resistivity " , Solid state electronics , Pergamon press , Vol.10 , 1967, pp.611-616 .

12- A.S.Grove , " Physics and technology of semiconductor devices " , Wiley , New York , 1967 .

تنخفض بزيادة تردد التيار المسلط في المدى 500KHz الى 100KHz

References

المصادر :

1- أ.م.أم.زمي، "نباط أشباه الموصلات فيزياء وتقنية" ، ترجمة فهر غالب حياتي وحسين علي أحمد ، جامعة الموصل ، 1990 .

2- K.Ng. Kowk, "Complete guide to semiconductor devices", McGraw -Hill, Inc., New York, 1995.

3- E.S.Yang , " Microelectronics ", McGraw-Hill book Co.,Singapore ,1986 .

4- أطياف صبحي الرواس ، "تأثير الاشعاع على نبات حاجز شوتكي لأرسنيد الكاليلوم " ، أطروحة دكتوراة ، كلية التربية ، جامعة الموصل ، 1999 .

5- R.K. Watts, J.H.Bruning, "A review of fine-line lithographic techniques: present and future " , Solid State Technol., Vol. 24, No.5, 1981, pp.99-108.